

FrutoMorph

Uma Aplicação de Processamento de Imagens para Identificação de Frutas em Python

Wemerson da Silva Soares *wemersonsilvasoares9@gmail.com*
Prof. Leonardo Nogueira Matos *Processamento de Imagens - COMP0432*

São Cristóvão/SE - 2025

Estrutura da Apresentação

- Introdução e Contextualização
- Estrutura Geral do Projeto
- Funcionamento do Algoritmo
- Resultados Obtidos
- Desafios Encontrados e Soluções
- Conclusões e Perspectivas Futuras
- Referências

I. Introdução e Contextualização

O presente projeto propõe uma solução acessível e eficaz para a identificação de frutas utilizando técnicas de imagens. Sem recorrer a métodos baseados em aprendizado de máquina, que demandam grandes volumes de dados e alto poder computacional, optou-se por uma implementação manual e determinística.

Para isso, foram escolhidas técnicas bem estabelecidas em Processamento de Imagens, como filtros de suavização, a detecção de bordas com o filtro Sobel e a aplicação da Transformada de Hough Circular para identificar formas circulares.

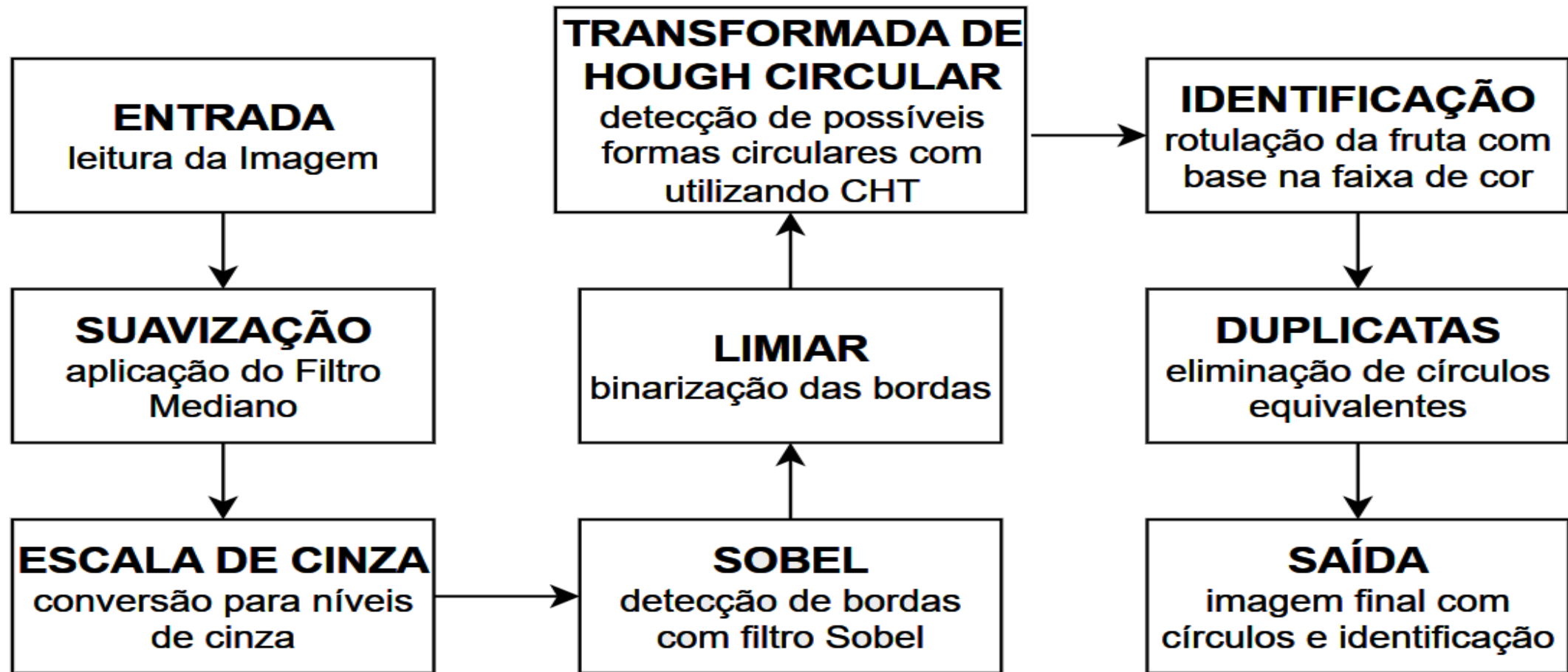
Embora essa abordagem ofereça vantagens, como simplicidade e baixo custo, também apresenta desafios e limitações, especialmente no que diz respeito ao tempo de execução e à menor flexibilidade em cenários complexos, configurando-se como uma verdadeira prova de conceito no escopo do projeto.

FrutoMorph | Solução Proposta

- **Contexto:** A aplicação do processamento de imagens pode se apresentar como uma alternativa ao aprendizado de máquina, especialmente em áreas como a agricultura, onde a automação de processos contribui para a melhoria da eficiência e redução de custos.
- **Justificativa:** A identificação automática de frutas, por exemplo, facilita a separação e a eventual classificação, otimizando processos industriais e auxiliando em tarefas de controle de qualidade.
- **Objetivo:** O objetivo deste trabalho é aplicar exclusivamente técnicas de processamento de imagens para detectar e identificar frutas em imagens, utilizando abordagens como níveis de cinza, filtros de suavização, o operador de Sobel e a Transformada de Hough Circular.

II. Estrutura Geral do Projeto

O processamento é realizado em várias etapas sequenciais. A seguir, o diagrama esquemático mostra o processo desde a leitura a obtenção da imagem final.



FrutoMorph | Diagrama Esquemático

- **Entrada:** A imagem da fruta é carregada para ser processada. Aqui, você pode mostrar como a imagem é lida a partir do arquivo, utilizando a função *imread*.
- **Suavização:** A imagem é suavizada com um filtro mediano, onde cada pixel recebe o valor mediano de seus vizinhos em uma janela de tamanho específico para remover ruídos e detalhes menores.
- **Escala de Cinza:** A imagem colorida é convertida para escala de cinza, simplificando a informação visual e focando apenas nas intensidades de luz.
- **Sobel:** O filtro Sobel é aplicado para detectar as bordas na imagem. Isso é feito por meio de convoluções que calculam o gradiente da imagem em direções específicas, destacando as bordas dos objetos.

→ **Limiar:** As bordas detectadas são binarizadas (preto e branco) para separar as regiões de interesse (as frutas) do fundo, com a aplicação de um limiar.

→ **Transformada de Hough Circular:** Usando a CHT, a imagem é analisada para detectar círculos que podem representar as frutas. A técnica mapeia as bordas para um espaço paramétrico, onde são identificados possíveis centros e raios.

→ **Identificação:** A cor média dentro de cada círculo detectado é calculada e convertida para o espaço de cores HSV. Baseado na tonalidade (hue), saturação e valor, a fruta é identificada (por exemplo, maçã, laranja, etc.).

→ **Duplicatas:** Círculos que estão muito próximos uns dos outros são eliminados para evitar duplicações. A distância mínima entre os centros é definida para garantir que cada fruta seja identificada apenas uma vez.

→ **Saída:** A imagem final é gerada, exibindo as frutas detectadas, circuladas, e rotuladas no centro de cada círculo. Essa imagem é salva e exibida.

Construção do Dataset | Pré-Processamento das Imagens

Antes de iniciar o processamento propriamente dito, todas as imagens passaram por um processo metódico de padronização, que envolveu:

- **Redimensionamento** para uma altura fixa de **160 pixels**, com o objetivo de evitar imagens pesadas e garantir uniformidade no tamanho e na resolução;
- **Conversão** para o formato **PNG**, a fim de manter um padrão de entrada;
- **Remoção do canal alfa** (camada de transparência) após a conversão.

As etapas de padronização foram realizadas fora do ambiente de processamento, garantindo que todas as imagens estivessem no formato, resolução e estrutura adequados, resultando em um **dataset** homogêneo para o processamento posterior. Esse processo assegura um fluxo de trabalho mais limpo, eficiente e controlado, permitindo a execução das etapas do projeto de forma consistente, sem a necessidade de ajustes específicos para diferentes tipos de imagem.

Construção do Dataset | Imagens Selecionadas

0



1



2



3



4



5



6



7



8



9



III. Funcionamento do Algoritmo

O FrutoMorph tem como objetivo identificar e classificar frutas em imagens utilizando técnicas de processamento de imagem. No desenvolvimento do projeto, foram utilizadas bibliotecas e ferramentas para manipulação de imagens e processamento de dados.

- **Visão Geral das Etapas:** Conforme, visto, o processo de identificação das frutas é ser dividido em várias etapas, que serão descritas a seguir. Cada etapa visa transformar a imagem de uma maneira que facilite a detecção e classificação das frutas.
- **Tecnologias Utilizadas:** A principal biblioteca utilizada no processamento e manipulação de imagens é a *scikit-image*, que foi rigorosamente aplicada para as operações essenciais do projeto. Além disso, foram empregadas outras bibliotecas auxiliares para exibição de resultados e manipulação de arrays.

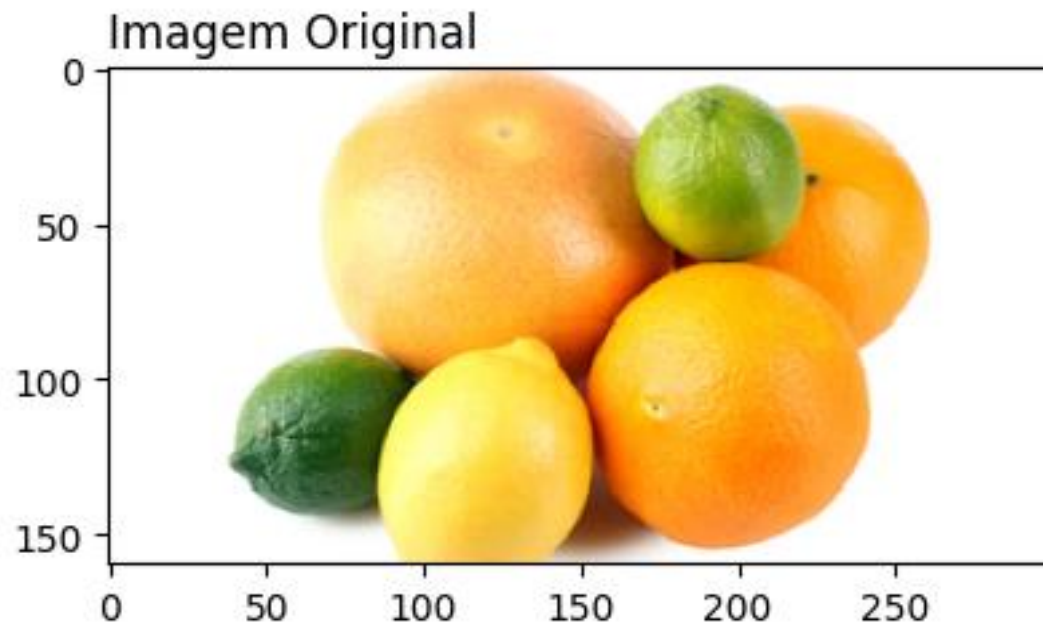
FrutoMorph | Bibliotecas Utilizadas



- **Matplotlib**: Exibição de imagens e gráficos durante o processamento.
- **Matplotlib Image**: Leitura das imagens a partir de arquivos PNG.
- **NumPy**: Manipulação de arrays e operações matemáticas.
- **Skimage (scikit-image)**:
 - *from skimage import color*: Conversão para níveis de cinza.
 - *from skimage.draw import circle_perimeter*: Desenho das circunferências.
 - *from skimage.draw import disk*: Indexação de pixels dentro dos círculos.

Entrada | Leitura e Processamento

O primeiro passo no processamento da imagem é a **Leitura e Conversão para Escala de Cinza**, onde a imagem original é carregada com a função *imread* e, em seguida, convertida para níveis de cinza usando *rgb2gray*.

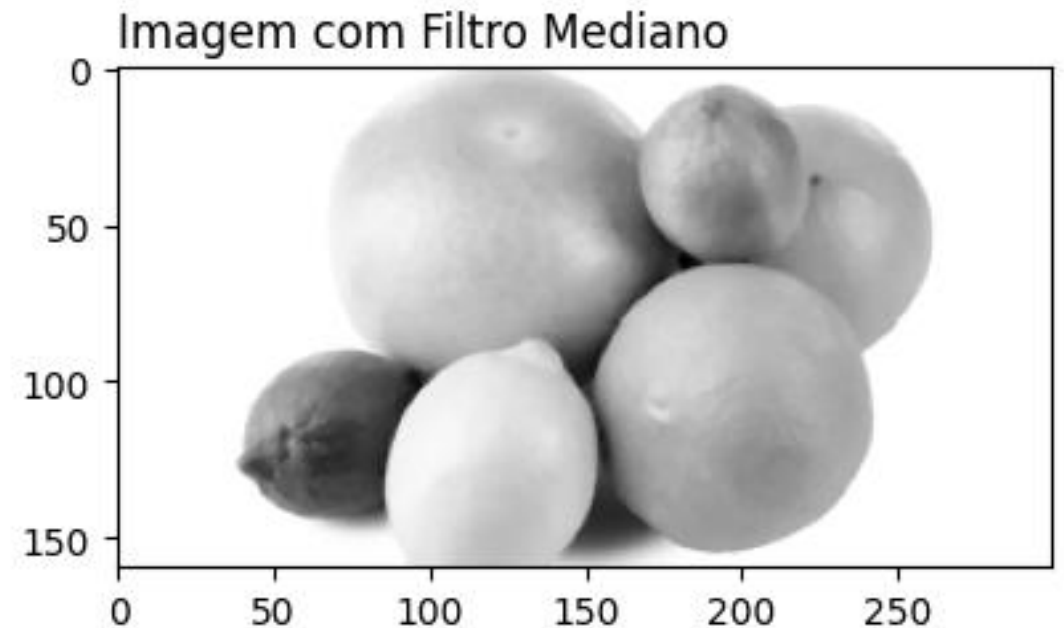


Essa etapa prepara a imagem para o próximo estágio de processamento, tornando-a mais simples e eliminando as informações de cor que não são necessárias para a detecção e análise de formas.

Suavização | Filtro Mediano

A suavização é realizada utilizando o **Filtro Mediano**, que tem como objetivo reduzir o ruído presente na imagem, tornando a detecção de bordas mais eficaz.

Este filtro preserva as bordas das frutas, enquanto elimina pequenas imperfeições ou distúrbios causados por ruído.



Suavização | Funcionamento do Filtro Mediano

O **filtro mediano** substitui cada pixel central pela mediana dos valores de seus vizinhos, calculada em uma janela de kernel 3x3. O processo resulta em uma imagem com menos ruído. O exemplo ilustra o funcionamento do filtro mediano, aplicado sobre uma imagem.

- Imagem de Entrada:
$$\begin{bmatrix} 10 & 20 & 30 & 25 & 5 \\ 40 & 15 & 50 & 35 & 60 \\ 25 & 50 & 35 & 10 & 30 \\ 5 & 30 & 10 & 15 & 45 \\ 15 & 20 & 30 & 25 & 10 \end{bmatrix}$$

- Janela de Kernel (3x3) sobre um Pixel Central (15):
$$\begin{bmatrix} 10 & 20 & 30 \\ 40 & 15 & 50 \\ 25 & 50 & 35 \end{bmatrix}$$

- Cálculo da Mediana (ordenação dos valores):

[10 15 20 25 **30** 35 40 50 50]

→ Valor mediano: 30

- Resultado após filtro:

$$\begin{bmatrix} 10 & 20 & 30 & 25 & 5 \\ 40 & \mathbf{30} & 50 & 35 & 60 \\ 25 & 50 & 35 & 10 & 30 \\ 5 & 30 & 10 & 15 & 45 \\ 15 & 20 & 30 & 25 & 10 \end{bmatrix}$$

→ Pixel central alterado para 30

Detecção de Bordas | Filtro Sobel

O filtro **Sobel** é um operador de detecção de bordas utilizado no processamento de imagens, para destacar as regiões de transição de intensidade, ou seja, as bordas da imagem. Ele é baseado em duas máscaras: uma para detectar bordas na direção **horizontal** (G_X) e outra na direção **vertical** (G_Y). O objetivo é calcular o gradiente de intensidade da imagem.

Magnitude

A Magnitude do gradiente é então calculada para dar uma medida de intensidade da borda.

$$|\text{Gradiente}| = \sqrt{G_x^2 + G_y^2}$$

Máscaras

Máscara para a horizontal (G_X)

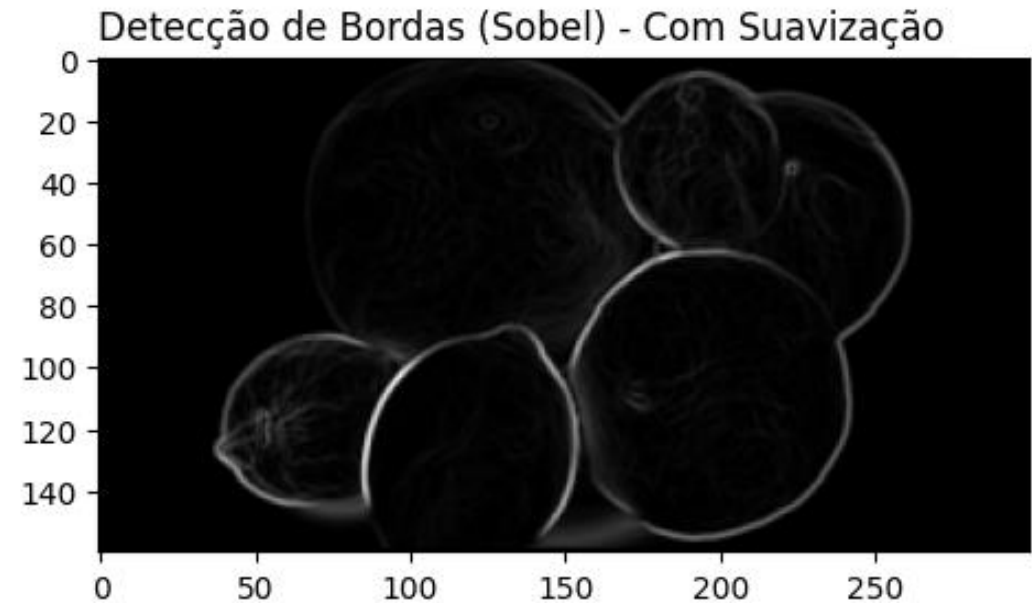
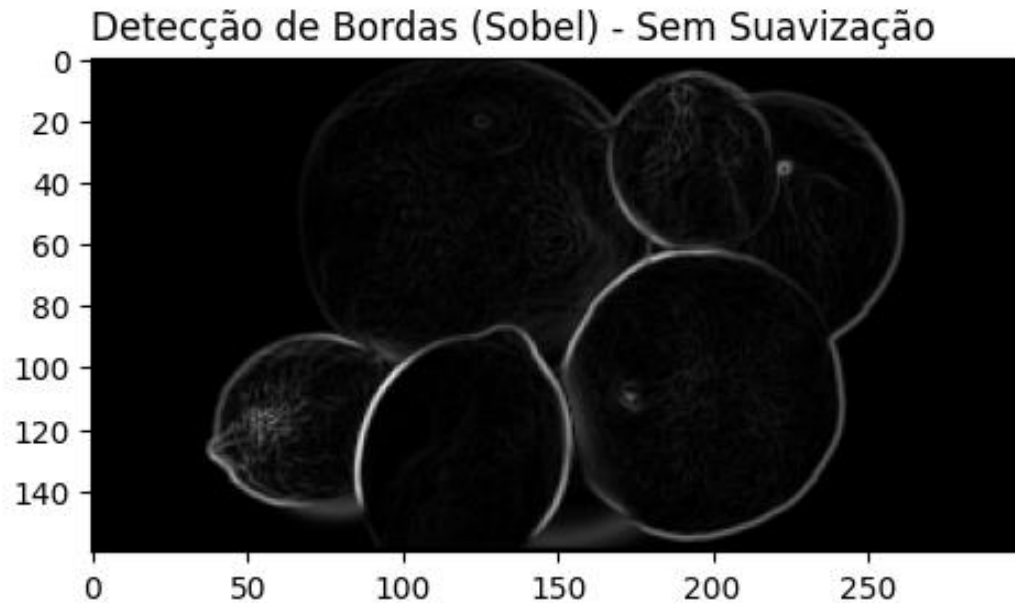
$$\begin{bmatrix} -1 & 0 & 1 \\ -2 & 0 & 2 \\ -1 & 0 & 1 \end{bmatrix}$$

Máscara para a vertical (G_Y)

$$\begin{bmatrix} -1 & -2 & -1 \\ 0 & 0 & 0 \\ 1 & 2 & 1 \end{bmatrix}$$

Detecção de Bordas | Aplicação do Filtro Sobel

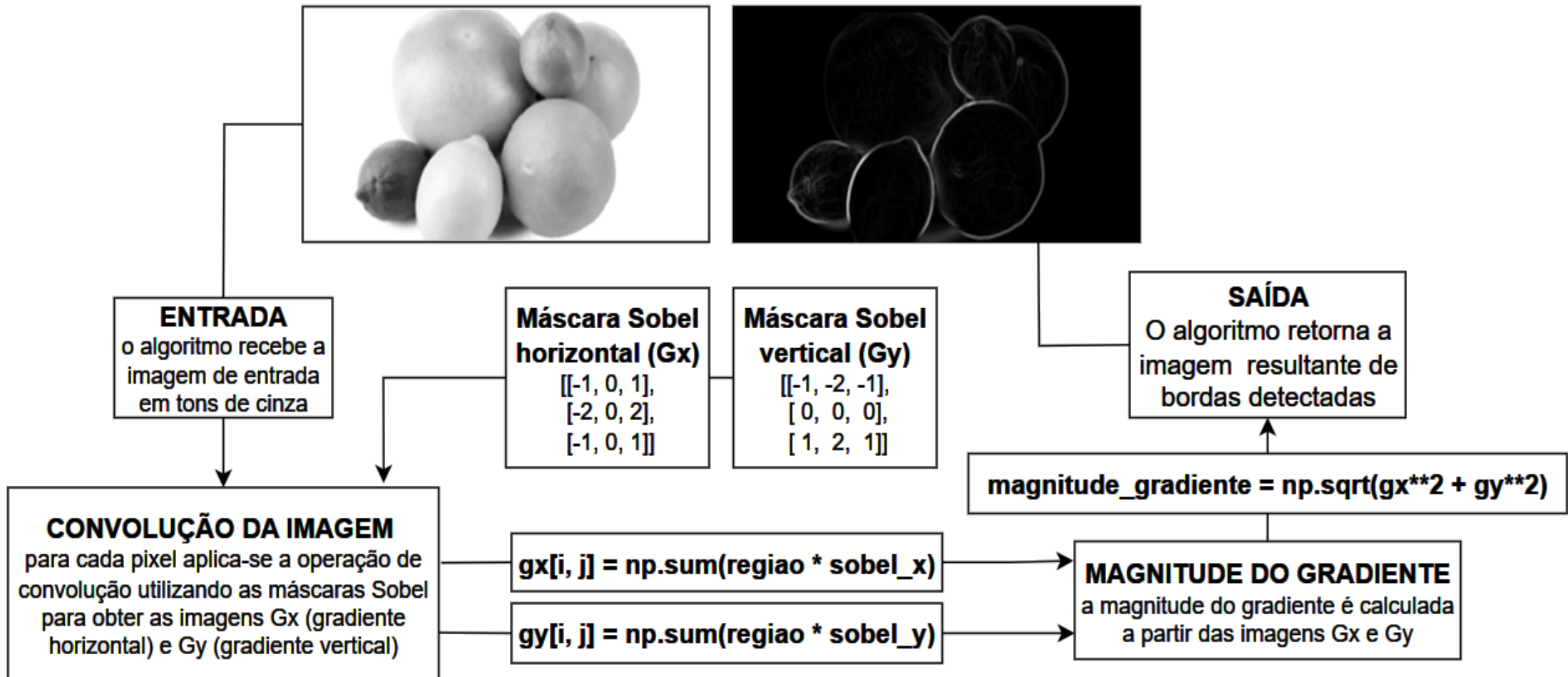
A **detecção de bordas** usando o **filtro Sobel** é influenciada pela suavização da imagem. Sem a suavização, o filtro Sobel tende a ser mais sensível a ruídos e imperfeições, o que pode resultar em bordas detectadas de forma imprecisa. Quando a suavização é aplicada, como no caso do filtro mediano, as bordas se tornam mais nítidas e menos afetadas por pequenas irregularidades.



O filtro Sobel detecta essas bordas, destacando, então, os contornos das frutas.

Detecção de Bordas | Ilustração do Algoritmo

Para ilustrar o fluxo do processo, a seguir é apresentado o diagrama que descreve o funcionamento do algoritmo utilizado para a detecção de bordas.



Limiar | Binarização

A binarização converte uma imagem em tons de cinza em uma imagem binária, com pixels classificados em **preto (0)** e **branco (255)**. Isso ajuda a destacar elementos importantes, como bordas e objetos.

Um **valor de limiar** (*threshold*) é definido.

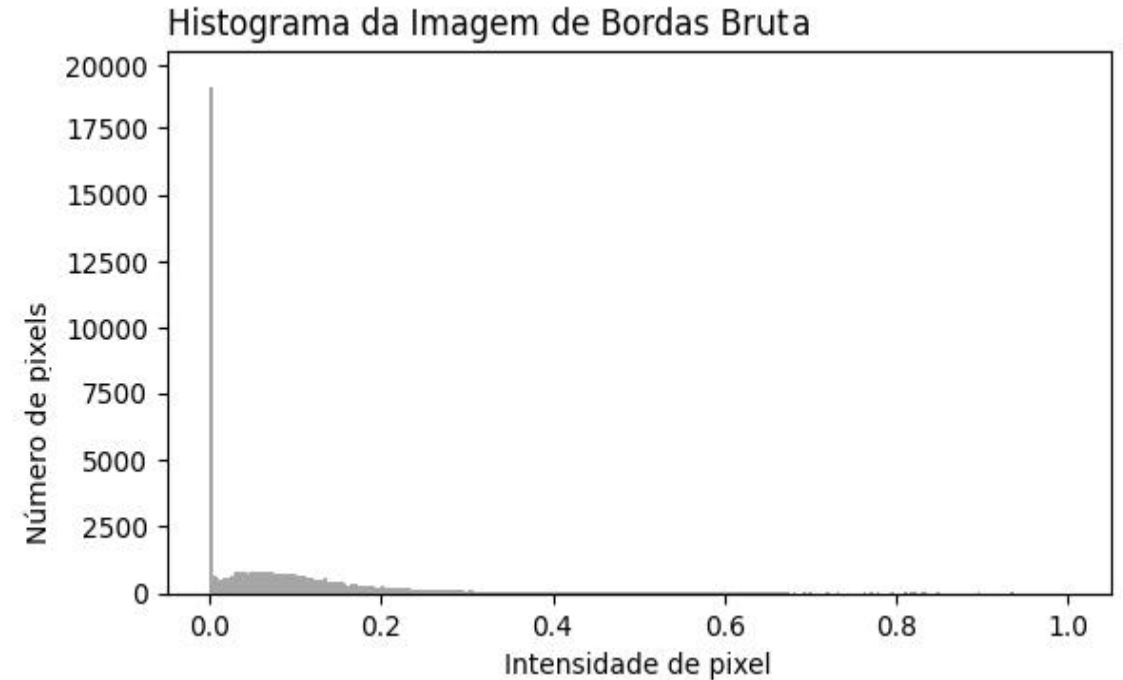
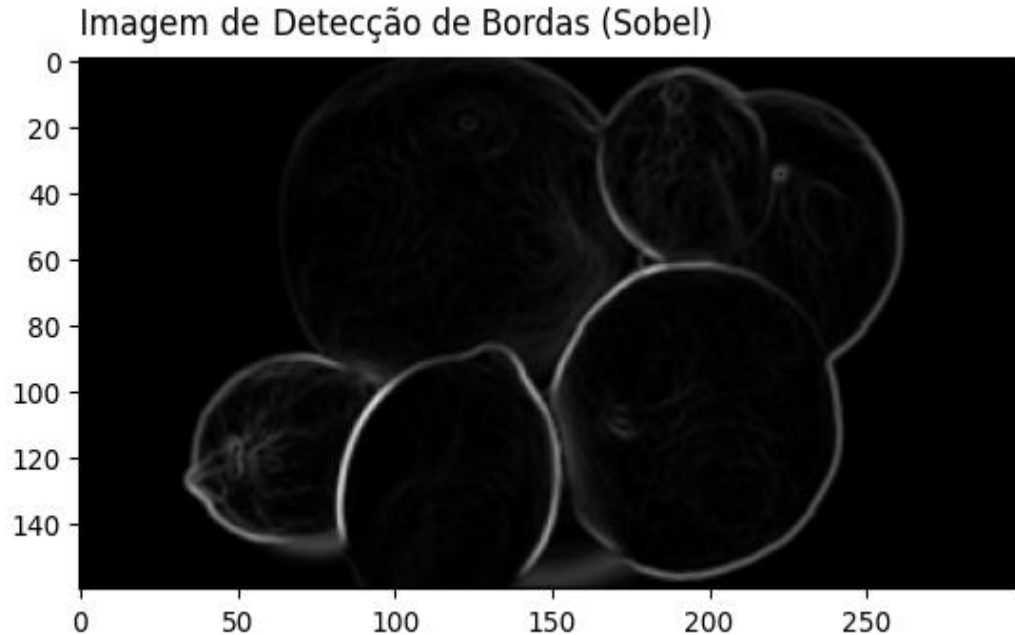
- Funcionamento:**
- Se o pixel for maior que o limiar, torna-se **branco (255)**.
 - Se o pixel for menor ou igual ao limiar, torna-se **preto (0)**.

$$I_{bin}(x, y) = \begin{cases} 255 & \text{se } I(x, y) > \text{limiar} \\ 0 & \text{se } I(x, y) \leq \text{limiar} \end{cases}$$

$I(x, y)$ é o valor do pixel original.

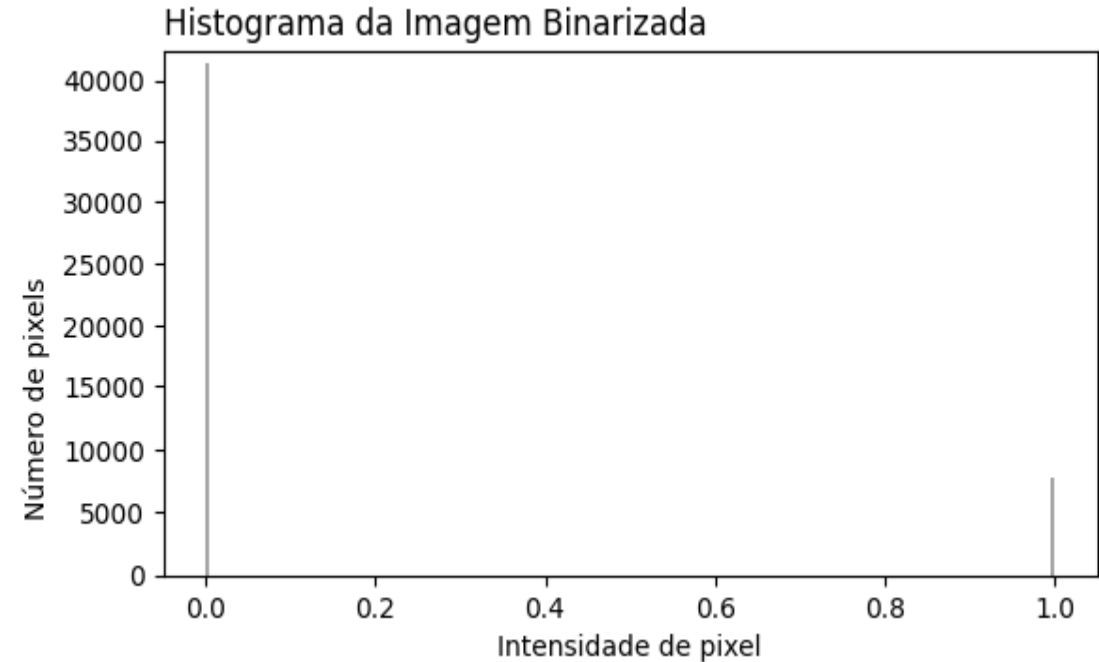
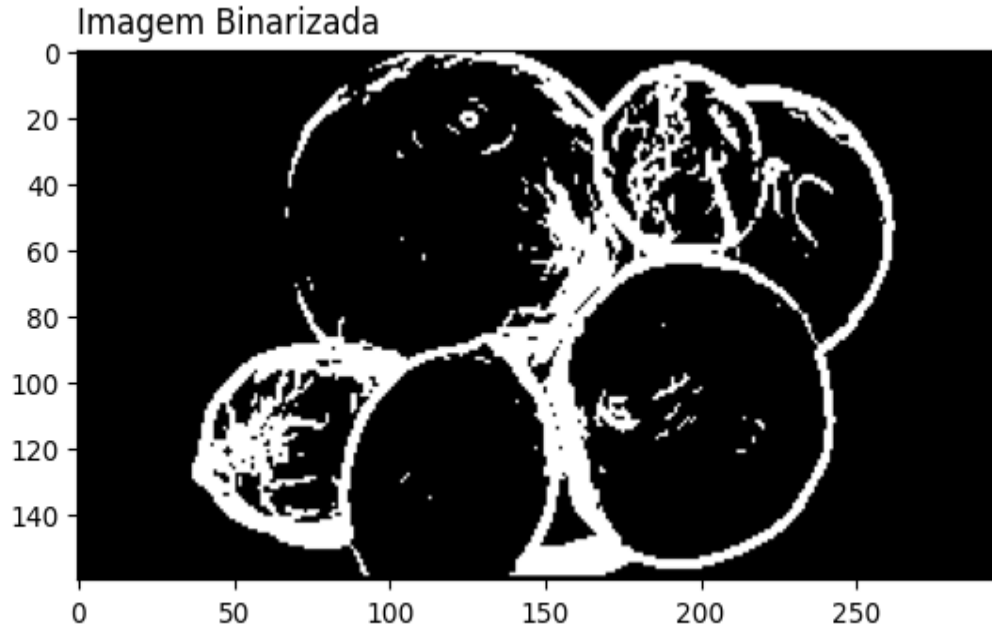
$I_{bin}(x, y)$ é o valor do pixel após a binarização.

Limiar | Histograma da Imagem de Bordas



A **imagem de bordas** é uma representação em tons de cinza, onde os pixels têm intensidades variando de 0 (preto) a 1 (branco). O **histograma de sua forma bruta** mostra a distribuição dessas intensidades na imagem, destacando quais valores de pixel são mais predominantes.

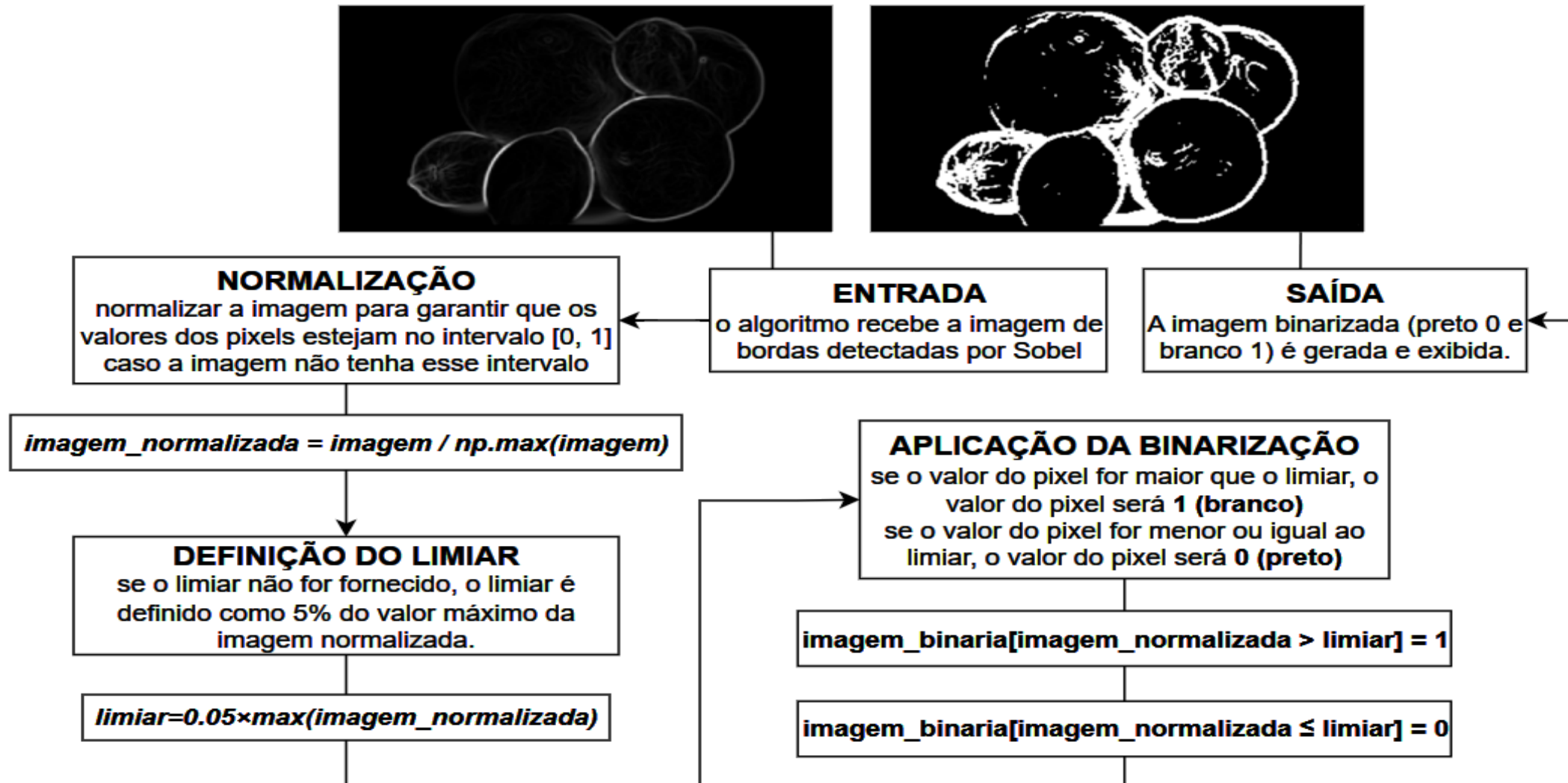
Limiar | Histograma da Imagem Binarizada



A **imagem binarizada** é uma versão simplificada da anterior, com pixels transformados em preto (0) ou branco (255) com base no limiar. O **histograma binarizado** reflete essa transformação, mostrando dois picos: um para os pixels pretos (0) e outro para os brancos (1), indicando a distribuição binária dos pixels.

Limiar | Ilustração do Algoritmo

O diagrama a seguir descreve o funcionamento do algoritmo da binarização.



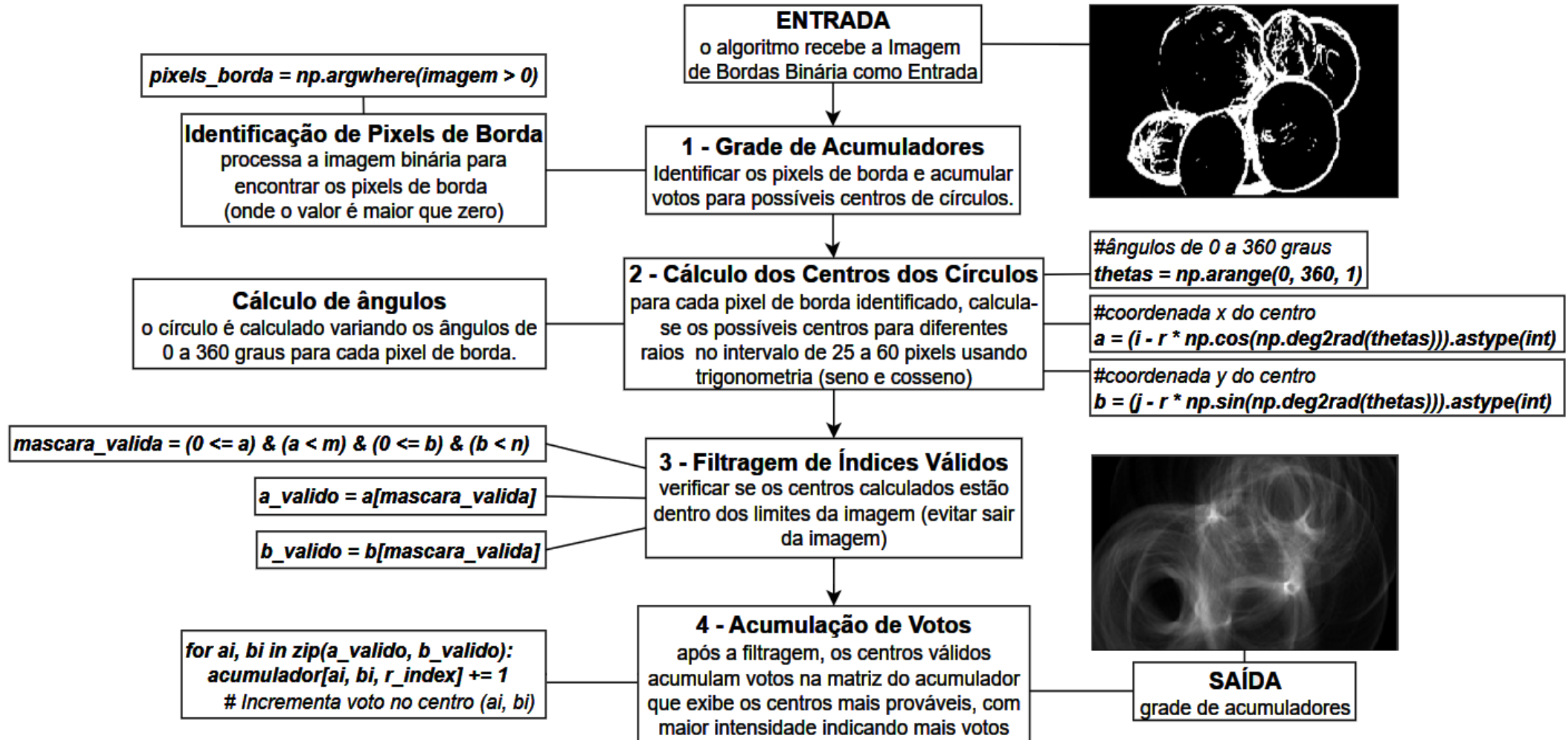
Transformada de Hugh Circular | CHT

A **Transformada de Hough Circular (CHT)** é uma técnica poderosa em Processamento de Imagens para detecção de formas circulares. O processo envolve três etapas principais: acumulação dos votos para possíveis centros de circunferências, identificação dos centros com maior número de votos e, finalmente, a visualização dos círculos detectados na imagem.

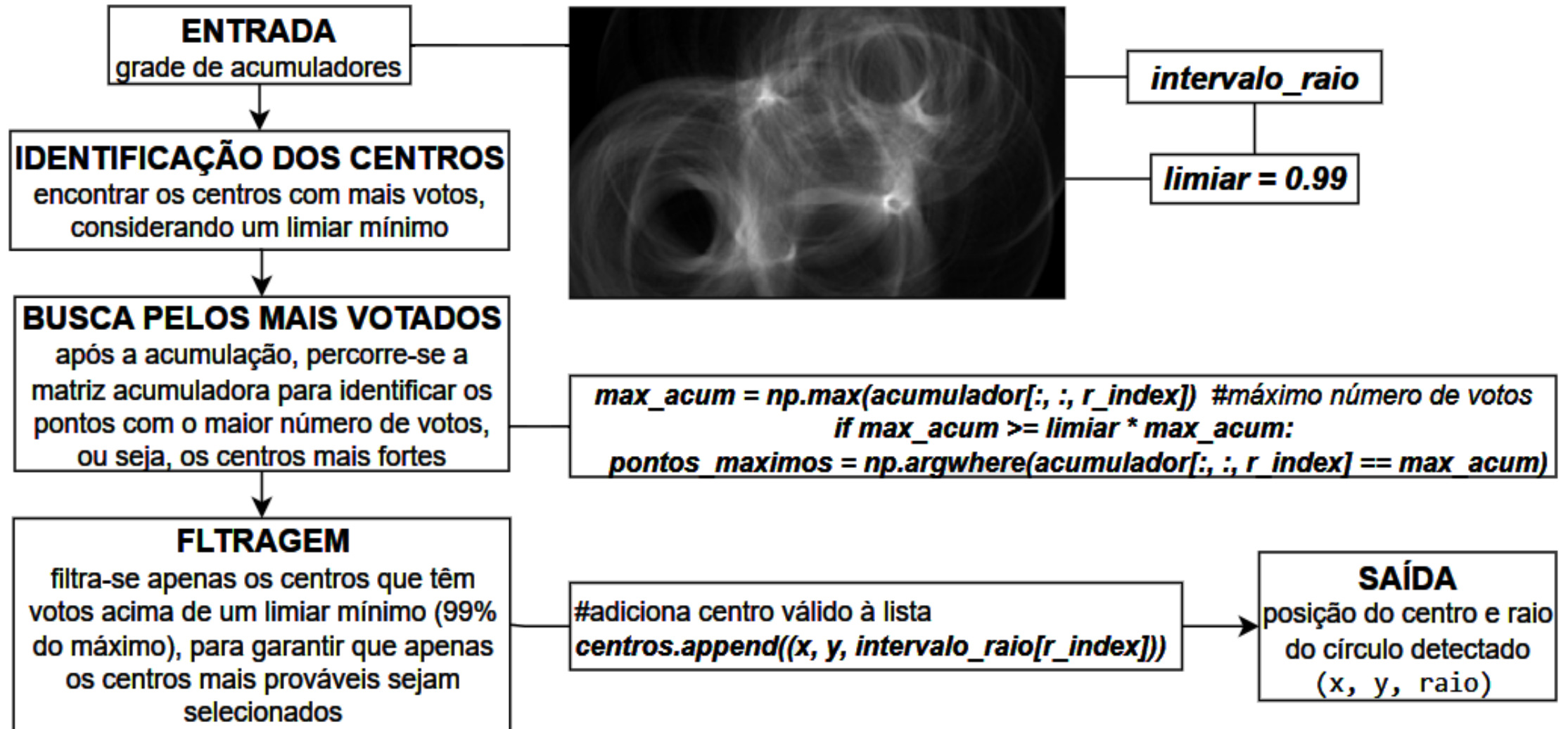
- 1. Grade de Acumuladores:** Identifica pixels de borda e acumula votos para possíveis centros de círculos em diferentes raios.
- 2. Identificação dos Centros:** Encontra os centros com mais votos, considerando um limiar mínimo.
- 3. Desenho dos Círculos:** Desenha os círculos na imagem com base nos centros e raios identificados.

Nos diagramas a seguir, é ilustrado o funcionamento da CHT nas fases de **1** a **3**.

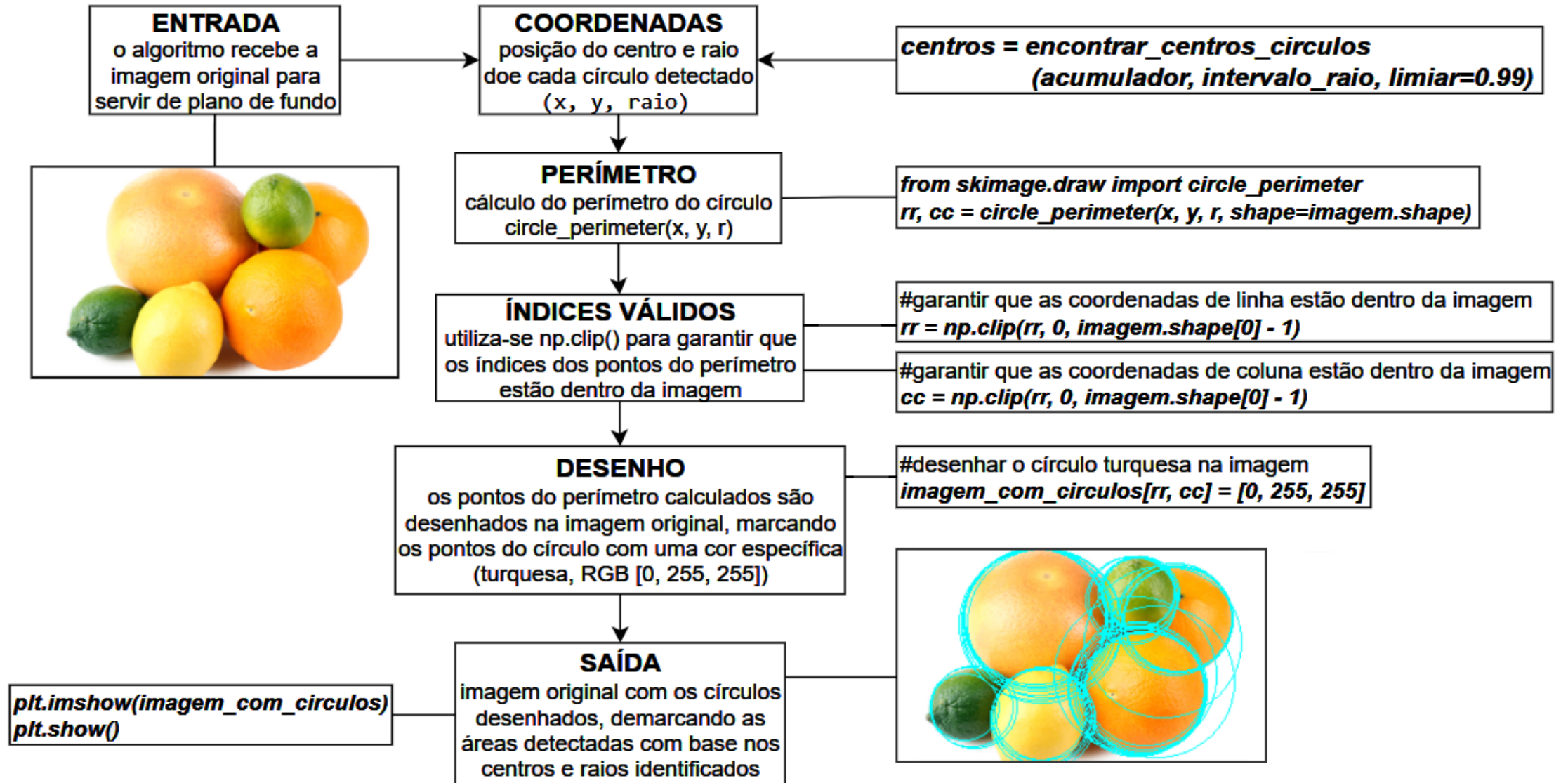
CHT | Fase 1 - Grade de Acumuladores



CHT | Fase 2 - Identificação dos Centros



CHT | Fase 3 - Desenho dos Círculos



Duplicatas | Eliminação de Círculos Próximos

Durante a detecção das frutas, múltiplos círculos podem ser detectados para o mesmo objeto, especialmente se os objetos estão próximos. Isso gera duplicatas e afeta a precisão da contagem.

A função *eliminar_circulos_proximos* remove círculos muito próximos, mantendo apenas um para objetos próximos. Isso evita duplicatas e melhora a precisão na detecção e contagem de objetos.

A proximidade entre os círculos é verificada usando a fórmula da distância euclidiana entre os centros dos círculos:

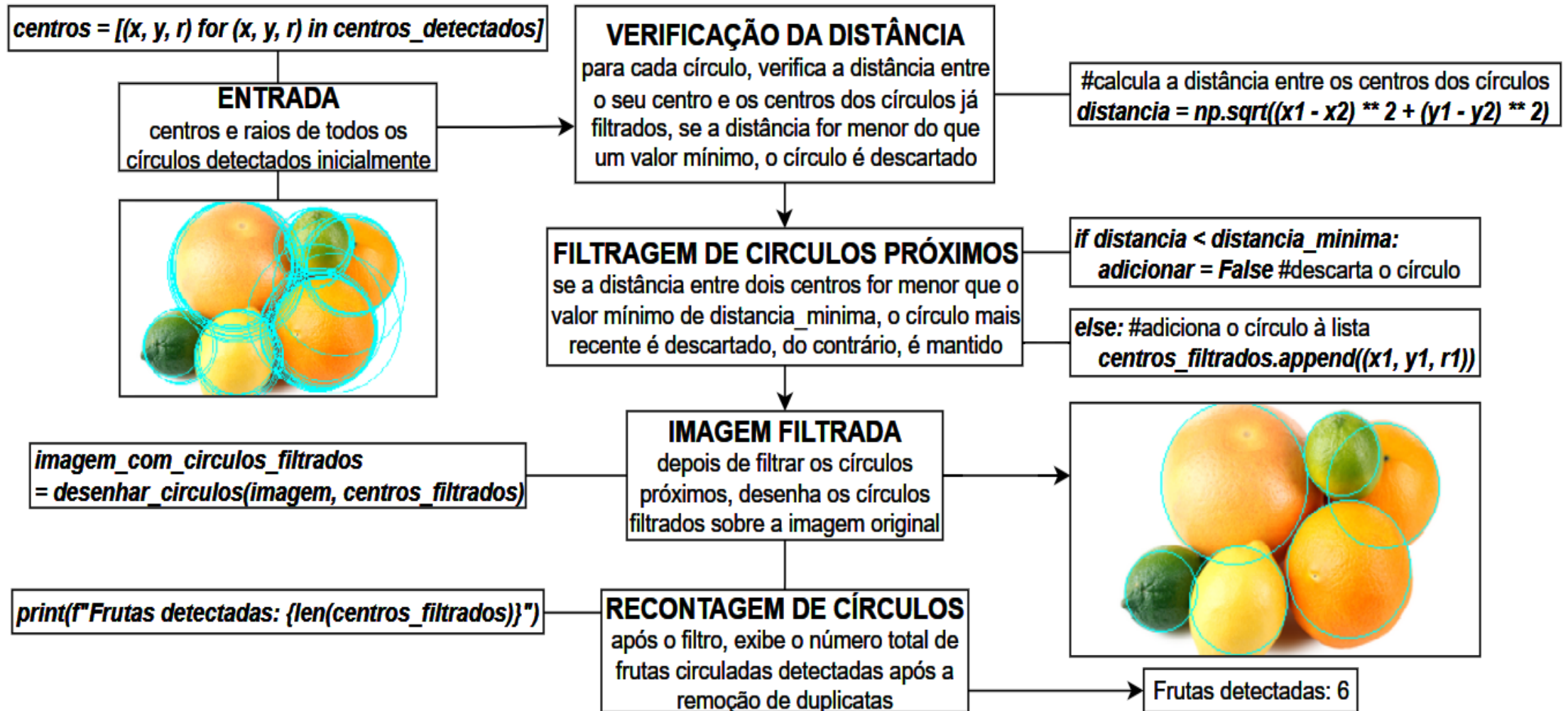
- **Círculos Detectados:** $\begin{cases} \text{Círculo } \mathbf{1}: \text{Centro } (x_1, y_1), \text{ Raio } r_1 \\ \text{Círculo } \mathbf{2}: \text{Centro } (x_2, y_2), \text{ Raio } r_2 \end{cases}$

- **Distância Entre Círculos:** $d = \sqrt{(x_1 - x_2)^2 + (y_1 - y_2)^2}$

Se $d < 35(\text{distância mínima})$, o Círculo 2 é descartado.

Duplicatas | Ilustração do Algoritmo

O diagrama a seguir ilustra a eliminação de duplicatas no algoritmo.



Identificação da Fruta | Cálculo da Cor e Rotulação

Após a detecção dos círculos e a eliminação de duplicatas, o próximo passo é a identificação das frutas presentes na imagem. Esse processo ocorre em duas etapas principais: Calcula-se a cor média da área dentro de cada círculo, fornecendo uma indicação visual da fruta, e em seguida, a cor média é convertida para o modelo de cor HSV, permitindo uma análise mais precisa da matiz (*hue*), saturação (*saturation*) e luminosidade (*value*), que são comparados com intervalos pré-definidos para identificar a fruta. As etapas são as seguintes:

Cálculo da Cor Média: Determina-se a cor média da área do círculo, considerando todos os pixels dentro da região.

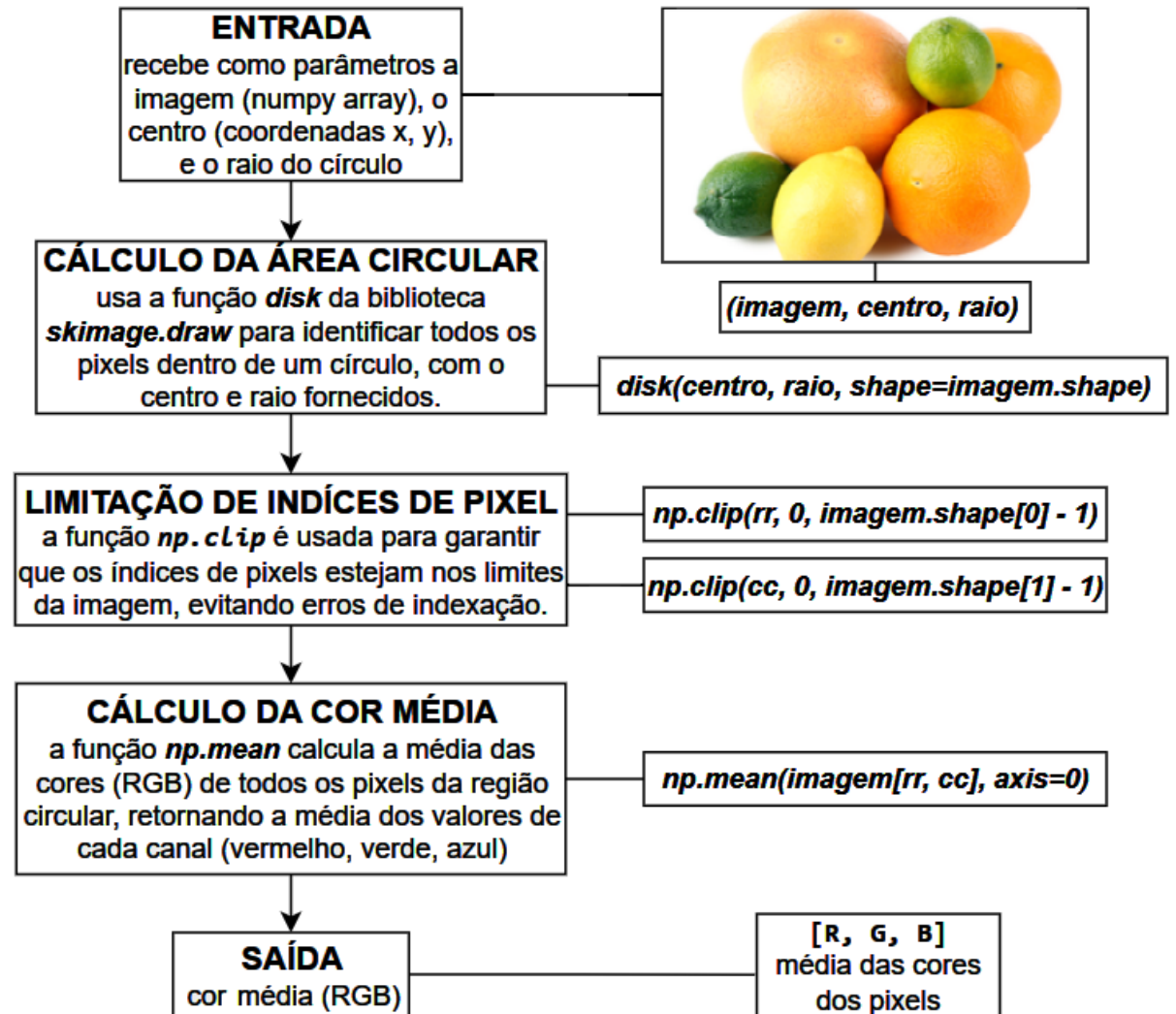
Análise de Cor com Modelo HSV: A cor média calculada é convertida para o modelo HSV, e a análise do matiz e saturação permite classificar a fruta com base nos intervalos de cores predefinidos.

Rotulação das Frutas na Imagem: Os círculos detectados são desenhados sobre a imagem, e a fruta identificada é rotulada, favorecendo a visualização.

Identificação da Fruta | Cálculo da Cor Média

A função calcula a cor média de todos os pixels dentro de uma área circular da imagem, utilizando o centro e o raio do círculo para determinar a região a ser analisada. A média das cores RGB dessa região é então calculada e retornada.

A ilustração ao lado apresenta as etapas do processo de cálculo da cor média, desde a seleção da área circular até o cálculo final da média RGB.



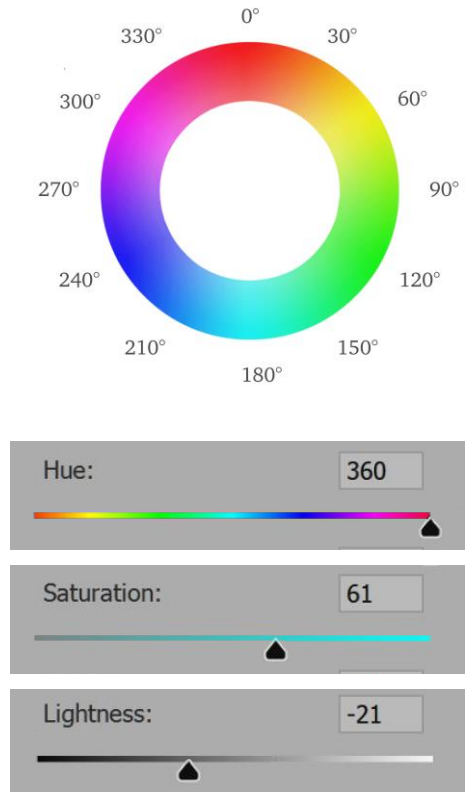
Identificação da Fruta | Análise de Cor com Modelo HSV

A análise de cor complementa a análise morfológica das frutas, oferecendo uma abordagem simples para estimar a fruta com base em suas características cromáticas. Utilizando o modelo de cor **HSV** (matiz, saturação, valor), é possível distinguir tonalidades de forma mais eficiente que o modelo **RGB**.

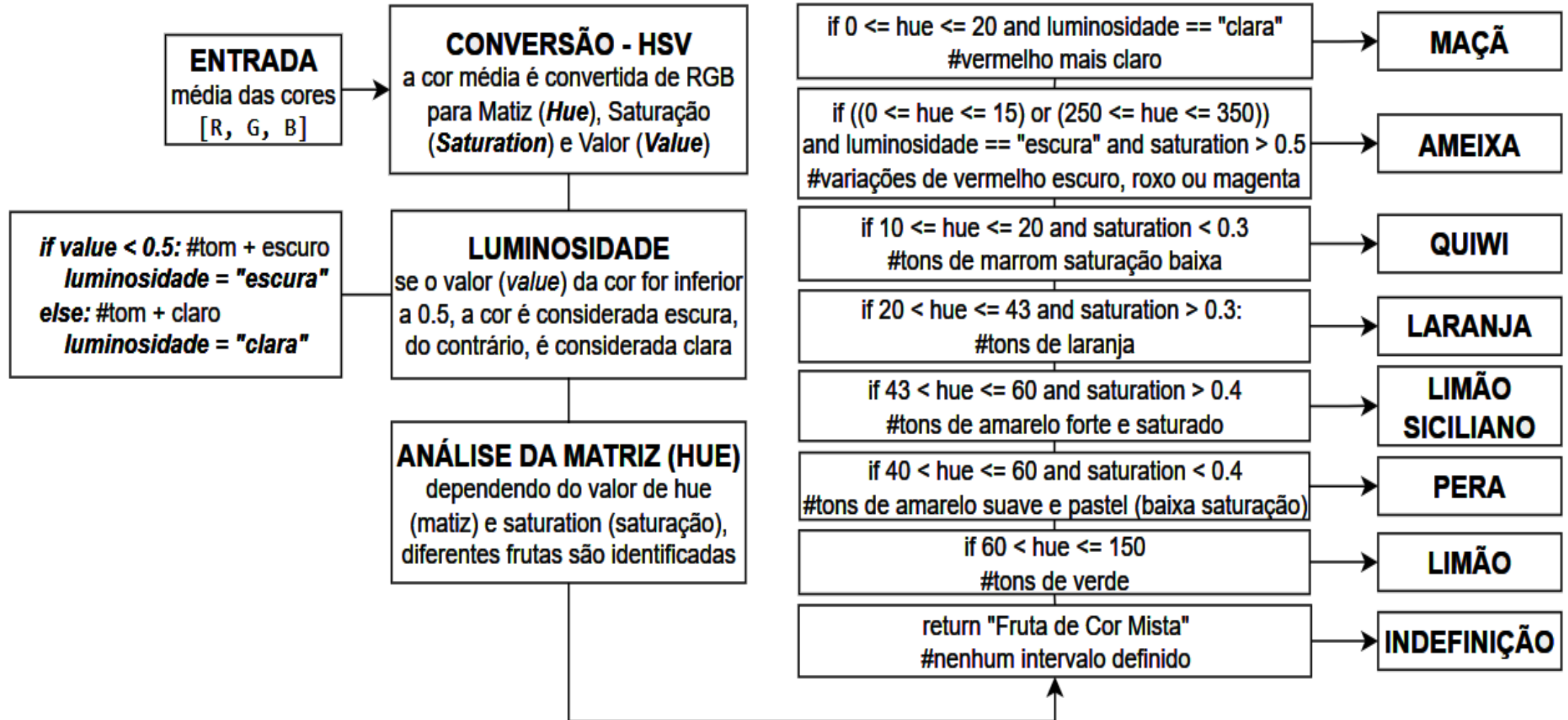
O modelo HSV é composto por três componentes:

- **Matiz (*Hue*)**: Tonalidade da cor, variando de 0° a 360°.
- **Saturação (*Saturation*)**: Intensidade da cor, de 0 (cinza) a 1 (cor pura).
- **Valor (*Value*)**: Luminosidade da cor, de 0 (preto) a 1 (branco).

A cor média da fruta é calculada e, com base na matiz e luminosidade, a fruta é classificada. Esse método oferece uma solução prática para o reconhecimento de frutas, sem necessidade de redes neurais ou aprendizado de máquina.



Identificação da Fruta | Ilustração da Análise de Cor



Identificação da Fruta | Rotulação das Frutas na Imagem

A etapa de rotulação vem após a análise da cor média. Nessa fase, os círculos desenhados sobre a imagem são usados para identificar e rotular as frutas com base nas cores médias calculadas. O processo é o seguinte:

1. Entrada: Imagem original e as coordenadas dos círculos (determinadas na etapa anterior).

2. Desenho dos Círculos: Círculos são desenhados nas demarcando as frutas.

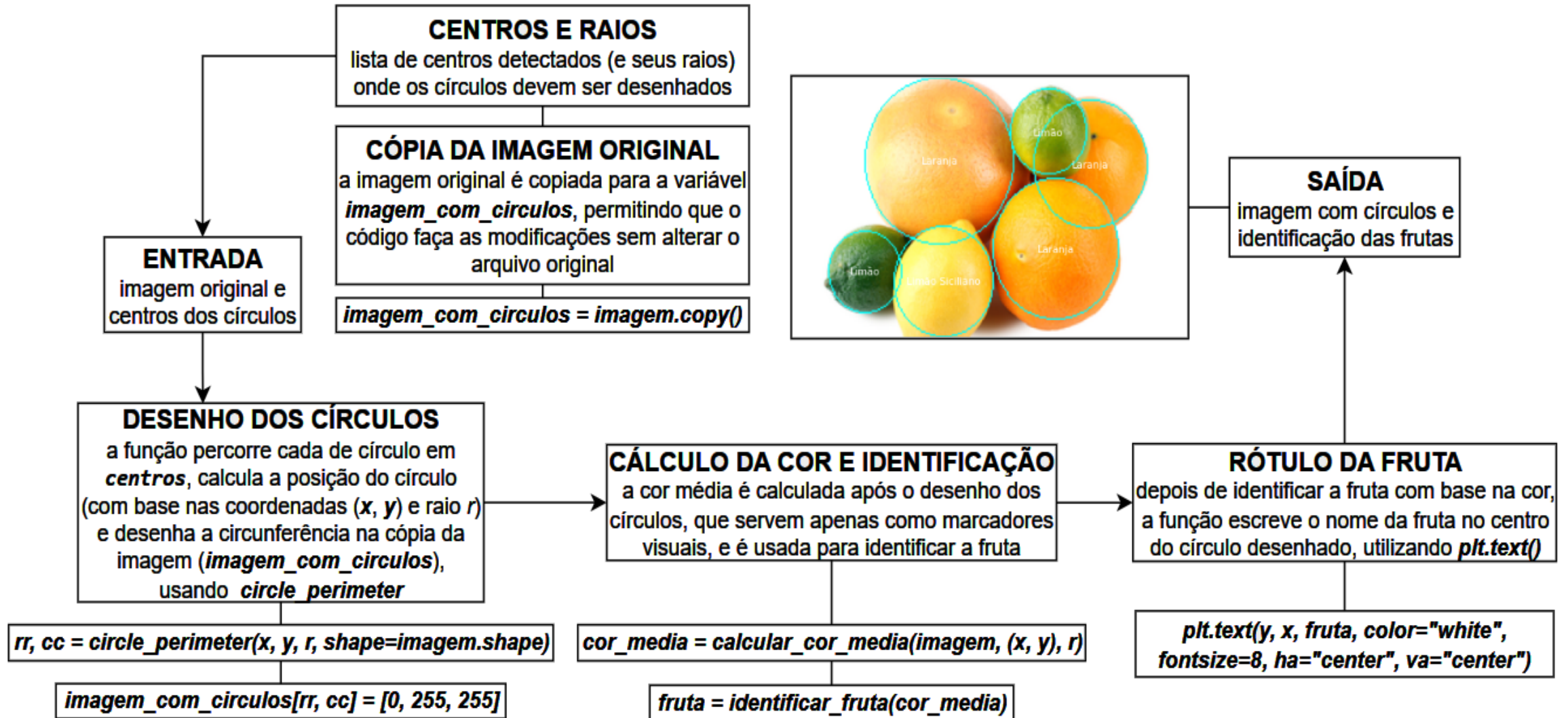
3. Rotulação: Para cada círculo, é calculada a **cor média** da região interna. Com base na **matiz** e **luminosidade**, a fruta é **identificada** e **rotulada**.



Saída: A imagem resultante exhibe os **círculos** sobre as frutas, com os **rótulos** indicando suas identificações (**detecção**: “Laranja”, “Limão”, “Laranja”, “Limão”, “Limão”, “Siciliano”, “Laranja”).

Identificação da Fruta | Ilustração da Rotulação das Frutas

O diagrama a seguir ilustra a rotulação das frutas na imagem.



IV. Resultados Obtidos

Nesta seção, serão analisados os resultados obtidos a partir da aplicação do algoritmo de detecção de frutas em um conjunto composto por 10 imagens. O objetivo é avaliar a eficácia da detecção, considerando as frutas identificadas, o número de detecções e a precisão do algoritmo em diferentes cenários.

Para cada imagem de entrada, referenciadas na seção “*Construção do Dataset / Imagens Selecionadas*”, será apresentado o resultado da detecção, acompanhado de uma análise detalhada do desempenho, com base na precisão da detecção, no número de frutas corretamente identificadas e nos possíveis erros de classificação.

A seguir, serão apresentadas as imagens do dataset, seguida da análise dos resultados obtidos e do desempenho de cada imagem processada.

Resultados de Detecção | Imagens Processadas

#0



Fruit detection results for image #0. Labeled items include: Laranja, Limão, Limão Siciliano, and Laranja.

#1



Fruit detection results for image #1. Labeled items include: Laranja, Ameixa, Maça, and Limão Siciliano.

#2



Fruit detection results for image #2. Labeled items include: Maça, Laranja, and Limão Siciliano.

#3



Fruit detection results for image #3. Labeled items include: Maça, Ameixa, and Limão Siciliano.

#4



Fruit detection results for image #4. Labeled items include: Limão Siciliano, Laranja, and Limão.

#5



Fruit detection results for image #5. Labeled items include: Limão, Limão Siciliano, Maça, Laranja, and Fruta de Cor Mista.

#6



Fruit detection results for image #6. Labeled items include: Laranja, Limão Siciliano, Limão, and Fruta de Cor Mista.

#7



Fruit detection results for image #7. Labeled items include: Laranja, Limão, and Limão Siciliano.

#8



Fruit detection results for image #8. Labeled items include: Laranja, Limão, and Limão Siciliano.

#9

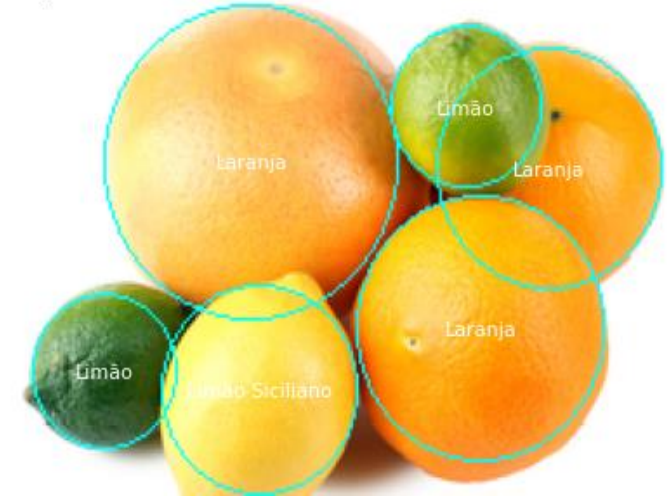


Fruit detection results for image #9. Labeled items include: Laranja, Maça, and Ameixa.

Resultados | *detecção#0*

A imagem da **Detecção #0** foi escolhida como referência ao longo de toda a explicação no escopo deste texto, pois se trata de uma imagem **clara, limpa** e mais **simples**, com **cores vivas**. Seu fundo **completamente branco** e as formas **bem definidas** facilitam a detecção e a análise visual. Para esta imagem inicial, o algoritmo **FrutoMorph** obteve uma **precisão absoluta**.

FrutoMorph: 6 frutas detectadas



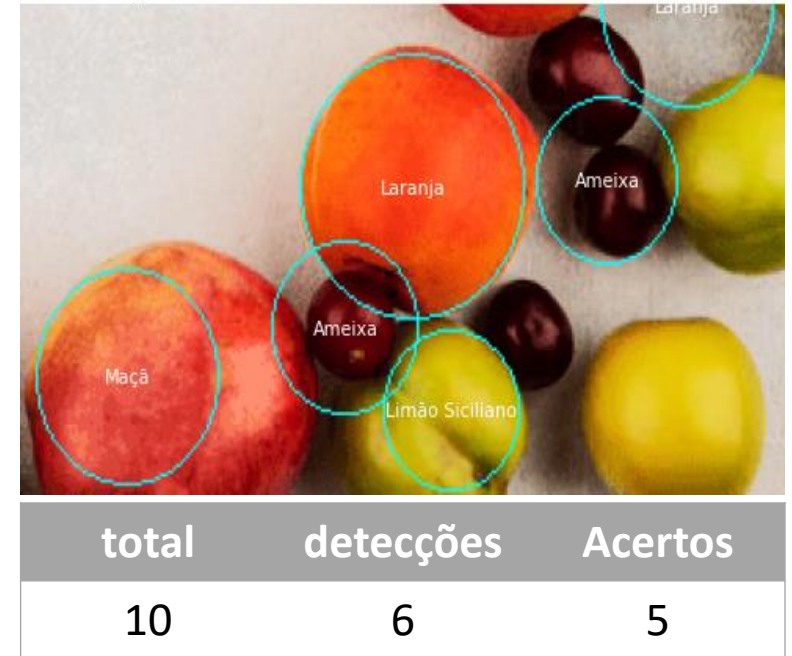
total	detecções	acertos
6	6	6

Foram detectadas **todas** as **6 frutas**, identificando corretamente cada uma delas com base na **análise da cor**. A imagem contém **3 laranjas**, 2 limões verdes e **1 limão siciliano**, e o algoritmo conseguiu classificar corretamente todas as frutas presentes. A precisão do algoritmo pode ser considerada **ideal** para esta imagem, uma vez que **não houve falhas** na detecção ou identificação das frutas.

Resultados | *detecção#1*

A imagem da **Detecção #1** apresenta maior **diversidade** de circunferências em comparação à imagem anterior, o que representa um **desafio adicional** para o algoritmo. A imagem contém **1 maçã, 1 laranja, 4 ameixas e 3 frutas** cuja cor remete ao **limão siciliano**. Foram identificadas **2 laranjas** (apesar de uma **fora do lugar**), **1 maçã, 2 ameixas e 1 limão siciliano** (6/10 frutas).

FrutoMorph: 6 frutas detectadas



No entanto, deixou **escapar duas ameixas e duas frutas** com a mesma cor do **limão siciliano**. Embora o resultado seja satisfatório, essa falha revela uma **limitação** do algoritmo em identificar frutas com **cores semelhantes**, o que foi **intencionalmente testado**. Isso sugere que, embora o algoritmo tenha bom desempenho, ele ainda enfrenta desafios ao lidar com **variações sutis de cor**.

Resultados | *detecção#2*

A imagem da **Detecção #2** contém **3 laranjas**, **2 maçãs** e **3 frutas** que se revelaram **problemáticas** durante a detecção: **2 kiwis** e **1 pera**. O algoritmo identificou corretamente as **3 laranjas**, **1 maçã** e a única **pera** (6/8 frutas), mas com algumas ressalvas. Embora a pera tenha sido detectada, sua rotulação foi **equivocada** pela **semelhança** com a cor do limão siciliano.

FrutoMorph: 5 frutas detectadas



Evidencia-se, portanto, a **sensibilidade** do algoritmo a **diferenças sutis de cor**. Uma **maçã** encoberta foi **ignorada**, provavelmente pela dificuldade em detectar seu formato. Quanto aos **kiwis**, o algoritmo não os reconheceu, possivelmente devido à sua **configuração de cor** específica **amarronzada** e ao **formato ovaloide**, que ainda representam um **desafio consistente** para o sistema.

Resultados | *detecção#3*

A imagem da **Detecção #3** contém **2 maçãs**, **6 ameixas**, **um limão siciliano** e **uma fruta verde circular**. O algoritmo detectou **3 maçãs**, **uma ameixa** e **um limão siciliano** (5/9 frutas). A imagem possui um **fundo mais escuro e acinzentado** em comparação com as anteriores. As ameixas são representadas por **círculos menores** em relação às maçãs.

FrutoMorph: 5 frutas detectadas



Possivelmente devido à **disposição** das ameixas, o algoritmo interpretou algumas delas como uma única circunferência, acertando na análise de cor ao identificar corretamente **uma ameixa** na posição central das 5, mas **deixando uma isolada escapar**. Quanto à **terceira maçã** identificada, trata-se de um **falso positivo**, resultante da **sobreposição** com áreas vermelhas das maçãs **reais**.

Resultados | *detecção#4*

A imagem da **Detecção #4** apresenta uma **quantidade** significativamente **maior de frutas** em comparação com as anteriores, totalizando **6 laranjas, 3 limões e 3 limões sicilianos** visivelmente identificáveis. O algoritmo conseguiu detectar **3 laranjas** (sendo uma **um falso positivo**), **3 limões sicilianos** corretamente reconhecidos e **1 limão** verde.

A **sobreposição** de frutas neste cenário possivelmente representou **um dos maiores desafios** para a detecção das formas. Além disso, a **superfície texturizada** de madeira pode ter contribuído para a ocorrência do falso positivo. No geral, o **FrutoMorph** demonstrou um **bom desempenho** ao distinguir as frutas detectadas, apesar dos **desafios** apresentados pela cena.

FrutoMorph: 7 frutas detectadas



total	detecções	acertos
12	7	6

Resultados | *detecção#5*

A imagem da **Detecção #5** apresenta um número igualmente elevado de frutas, incluindo uma espécie não identificada, inserida intencionalmente para **testar falsos positivos**. No entanto, este cenário conta com uma **melhor disposição** das frutas sobre uma superfície plana de tom pastel. No total, a cena contém **6 maçãs**, **3 laranjas**, **4 peras**, **5 limões** verdes e **3 frutas de cor escura**. O algoritmo identificou **3 peras**, embora rotuladas equivocadamente como limão siciliano.

Identificou também **1 maçã**, **3 laranjas** (com **um falso positivo**), **1 limão** e **1 das frutas de cor escura**, corretamente classificada como "*fruta de cor mista*", abordagem adotada para **identificações**. Apesar do maior número de frutas, o algoritmo identificou metade delas, com um nível considerável de precisão.

FrutoMorph: 9 frutas detectadas



total	Detecções	acertos
21	9	7

Resultados | *detecção#6*

A imagem da **Detecção #6** apresenta uma superfície de madeira de cor **forte, escura e texturizada**, mas as frutas estão **dispostas** de maneira mais favorável, sem sobreposição e respeitando a vizinhança. A cena contém **6 laranjas, 5 limões sicilianos e 3 limões verdes**. O algoritmo identificou todas as **5 laranjas** corretamente, um **sucesso absoluto**, e **4 limões sicilianos** identificados corretamente.

Quanto aos **2 limões verdes**, devidamente localizados, houve um **falso positivo** (uma folha), e **um limão perdido** pelo seu formato **irregular**. Também houve **falso positivo** no encontro de três laranjas, interpretado erroneamente. Apesar da superfície desfavorável e da **vulnerabilidade a falsos positivos** devido às formas, o **FrutoMorph** obteve novamente uma taxa elevada de acertos.

FrutoMorph: 13 frutas detectadas



total	detecções	acertos
14	13	11

Resultados | *detecção#7*

A imagem da **Detecção #7** apresenta um número mais contido de frutas, e desta vez, com **tamanhos maiores** em relação às proporções da imagem. Com um total de **2 laranjas, 1 limão siciliano, 1 kiwi e 1 laranja esverdeada**, o algoritmo apresentou os seguintes resultados: **Ignorou a laranja maior**, provavelmente porque o tamanho de seu raio **extrapola** os **limites** estabelecidos nos parâmetros da **Transformada de Hough**.

Encontrou **um falso positivo para laranja**, onde na verdade deveria ser um **kiwi**, possivelmente devido à configuração específica e amarronzada da casca da fruta, que causou o erro de detecção. **Acertou todas as demais frutas na imagem**, incluindo as **laranjas menores**, o **limão siciliano** e o **kiwi**. Apesar do erro em relação ao **falso positivo**, o algoritmo conseguiu **identificar corretamente a maioria** das frutas, mantendo um **bom índice de acertos**.

FrutoMorph: 5 frutas detectadas



total	detecções	acertos
6	5	4

Resultados | *detecção#8*

A **imagem da Detecção #8** apresenta uma disposição de frutas deslocadas para as bordas da imagem, com um fundo acinzentado e de textura limpa. Esse cenário favoreceu a detecção de bordas, ao mesmo tempo que testa uma nova configuração para a posição das frutas.

A cena contém **2 laranjas**, **um limão verde**, **um limão siciliano** e **2 kiwis**.

O algoritmo foi capaz de identificar corretamente **1 limão siciliano** e **1 laranja**, mas cometeu alguns erros: identificou uma **pera** (**falso positivo**), sobrepôs **1 limão falso** a **um limão real**, e rotulou o **kiwi** como **laranja**, provavelmente devido à dificuldade em lidar com o **tom amarronzado** da fruta. O algoritmo obteve **50% de acertos**, o que era esperado, considerando as vulnerabilidades do modelo em identificar frutas com **cores semelhantes** ou **sobreposições**.

FrutoMorph: 6 frutas detectadas

total	detecções	acertos
6	6	3

Resultados | *detecção#9*

A imagem da **Detecção #9** é a segunda imagem considerada ideal para o algoritmo **FrutoMorph**: o fundo é completamente branco, as frutas estão dispostas de forma sequencial e com um nível de exposição adequado.

Do total de **3 maçãs**, **1 ameixa**, **1 limão** e **1 pera**, o algoritmo foi capaz de detectar todas as frutas corretamente, com exceção da **pera**, rotulada como **laranja** devido ao seu tom mais alaranjado que os parâmetros definidos no algoritmo.

De modo geral, o algoritmo alcançou um dos melhores desempenhos em termos de detecção, e o único erro de rotulação pode ser atribuído, sem dúvidas, às limitações do determinismo do código, que depende de parâmetros predefinidos para análise das cores.

FrutoMorph: 6 frutas detectadas



total	detecções	acertos
6	6	5

Resultados | Desempenho Geral

Para uma visão geral dos resultados, a tabela a seguir sintetiza o desempenho do algoritmo em cada imagem, identificando falhas e acertos. Este panorama possibilita uma avaliação objetiva do modelo nos diferentes cenários analisados.

dataset'	total	detecções	frutas identificadas	precisão
<i>frutas0</i>	6	6	3 laranjas, 1 limão siciliano, 2 limões verdes	$6/6 = 100\%$
<i>frutas1</i>	10	6	2 ameixas, 2 laranjas, 1 limão siciliano, 1 maçã	$5/10 = 50\%$
<i>frutas2</i>	8	5	3 laranjas, 1 limão siciliano, 1 maçã	$4/8 = 50\%$
<i>frutas3</i>	10	5	1 ameixa, 1 limão siciliano, 3 maçãs	$4/10 = 40\%$
<i>frutas4</i>	12	7	3 laranjas, 1 limão verde, 3 limões sicilianos	$6/12 = 50\%$
<i>frutas5</i>	21	9	3 laranjas, 1 limão verde, 3 limões sicilianos, 1 maçã, 1 mista	$7/21 \approx 33\%$
<i>frutas6</i>	14	13	5 laranjas, 5 limões sicilianos, 3 limões verdes	$11/14 \approx 79\%$
<i>frutas7</i>	6	5	3 laranjas, 1 limão siciliano, 1 limão verde	$4/6 \approx 67\%$
<i>frutas8</i>	6	6	2 laranjas, 2 limões, 1 limão siciliano, 1 pera	$3/6 = 50\%$
<i>frutas9</i>	6	6	1 ameixa, 1 laranja, 1 limão verde, 3 maçãs	$5/6 \approx 83\%$

V. Desafios Encontrados e Soluções

Durante a análise dos resultados, foram identificadas limitações que impactaram a precisão do algoritmo na detecção e classificação das frutas. Esses desafios estão relacionados tanto a características intrínsecas das imagens quanto a restrições do próprio modelo adotado. A seguir, os principais obstáculos observados ao longo do experimento.

- **Sobreposição de frutas** – Dificuldade na distinção de profundidade e na identificação precisa das formas circulares.
- **Número elevado de frutas** – A redução da escala das frutas em relação à resolução da imagem pode resultar na exclusão de algumas delas do intervalo definido para a Transformada de Hough.
- **Falsos positivos** – Detecção incorreta de elementos não pertencentes ao conjunto de frutas.

Desafios e Soluções | Desafios

- **Superfícies texturizadas e coloridas** – Insensíveis ao filtro mediano, essas superfícies podem contribuir para a ocorrência de falsos positivos.
- **Diferenças sutis de cores e formas entre frutas** – A rotulação é prejudicada em casos de frutas com coloração semelhante, limitação imposta pelos critérios da matriz HSV (saturação e iluminação). O kiwi não foi rotulado em nenhum dos casos, e a pera, frequentemente confundida com o limão siciliano.
- **Alto número de circunferências sobrepostas ou próximas** – O cálculo da grade de acumuladores com um intervalo consideravelmente amplo para abranger variações de tamanho pode gerar múltiplas detecções para uma mesma fruta ou regiões adjacentes.

Para mitigar essas limitações e aprimorar o desempenho do algoritmo, foram exploradas algumas estratégias e ajustes, conforme detalhado a seguir.

Desafios e Soluções | Soluções

Com base nos desafios identificados, foram implementadas soluções específicas para melhorar a eficácia do algoritmo, como descrito a seguir.

1. Matriz Hue (HSV em vez de RGB) – Para melhorar a distinção entre frutas de cores semelhantes, a análise de cor foi baseada na matiz (*hue*) do espaço de cores HSV, permitindo uma segmentação mais robusta.

2. Filtro Mediano – Aplicado para reduzir ruídos e suavizar a imagem antes da detecção de bordas, ajudando a minimizar falsos positivos em superfícies texturizadas.

3. Filtro Sobel – Utilizado para detectar bordas mais definidas, melhorando a segmentação das frutas e destacando seus contornos.

4. Binarização – Ajustando um limiar para destacar regiões de interesse, reduzindo interferências indesejadas antes da Transformada de Hough.

Desafios e Soluções | Soluções

5. Transformada de Hough Circular (CHT) – Para detectar formatos circulares das frutas, ajustando um intervalo adequado de raios.

6. Eliminação de Círculos Duplicados – Implementada para remover múltiplas detecções no mesmo centro ou em regiões muito próximas, reduzindo redundâncias na contagem de frutas.

7. Ajuste do Limiar na Detecção de Centros – Para evitar falsos positivos, apenas pontos com votos acima de um percentual do máximo na matriz acumuladora foram considerados.

8. Análise de Cor Média Dentro do Círculo – Para rotular corretamente cada fruta detectada, utilizando a média de cores dentro da região identificada.

Essas abordagens foram implementadas de para aprimorar a precisão da detecção e classificação das frutas no conjunto de imagens analisado.

VI. Conclusões e Perspectivas Futuras

O projeto demonstrou a eficácia de técnicas clássicas de processamento de imagens, como a transformada de Hough e a detecção de bordas, na identificação de frutas em imagens. No entanto, desafios como a sobreposição de frutas, variações sutis de cor e texturas complexas ainda podem impactar a precisão do algoritmo.

Abordagens como o filtro mediano e a análise de cor no espaço HSV ajudaram a mitigar algumas dessas limitações, mas há espaço para aprimoramentos, especialmente na classificação de frutas com cores semelhantes.

No futuro, melhorias podem ser alcançadas com ajustes nos parâmetros do algoritmo, como a definição mais precisa de intervalos de cor e o refinamento da detecção de bordas, além da implementação de técnicas de filtragem mais robustas para lidar com imagens com sobreposição ou textura complexa.

VI. Conclusões e Perspectivas Futuras

O desempenho também pode ser otimizado por meio da integração do código Python com C. A linguagem C, por ser compilada, oferece vantagens em termos de velocidade de execução, se comparada a Python, uma linguagem interpretada, especialmente em operações de processamento de imagens intensivas.

A implementação de partes do código em C pode reduzir significativamente o tempo de execução, conforme abordado em aula, melhorando a eficiência do sistema em cenários mais desafiadores.

O contínuo aprimoramento dos métodos de processamento e a busca por soluções mais rápidas e precisas garantirão uma maior robustez nas detecções e ampliarão a aplicabilidade do algoritmo em cenários mais diversos.

VII. Referências

GONZALEZ, R.; WOODS, R. *Digital Image Processing*. 3. ed. Upper Saddle River: Prentice Hall, 2010.

PEDRINI, H.; SCHWARTZ, W. R. *Análise de Imagens Digitais: Princípios, Algoritmos e Aplicações*. São Paulo: Thomson, 2007.

SOARES, Wemerson. *FrutoMorph: Diagrama Esquemático*. Diagrama eletrônico no draw.io, 2025. Disponível em: <https://shre.ink/FrutoMorph>. Acesso em: 30 mar. 2025.

SOARES, Wemerson. *Processamento de Imagens: FrutoMorph*. Repositório no GitHub, 2025. Disponível em: <https://github.com/serenesinister/jupyter>. Acesso em: 29 mar. 2025.